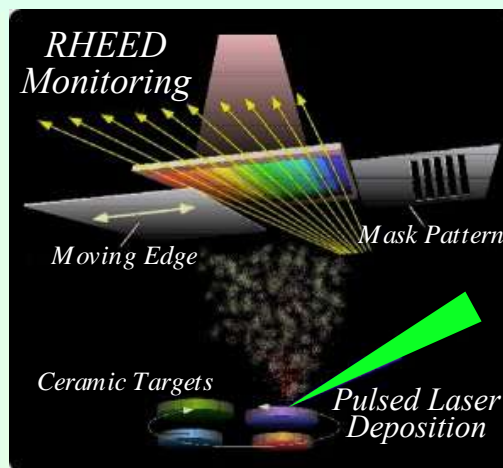
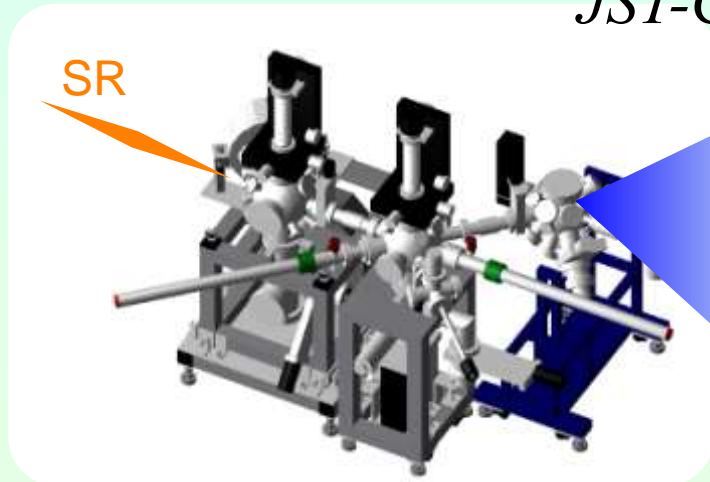


# 放射光電子分光でみる 酸化物ヘテロ界面電子状態

組頭 広志

東京大学大学院工学系研究科

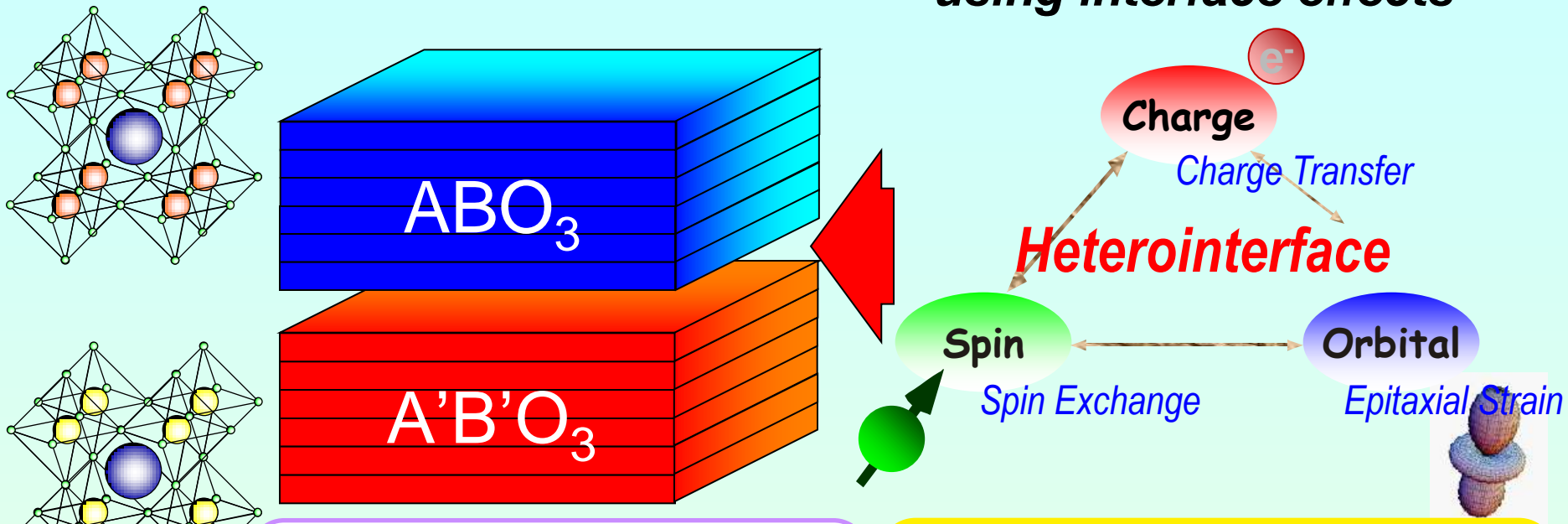
JST-CREST



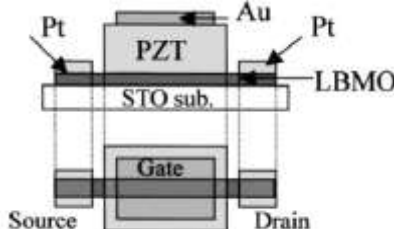
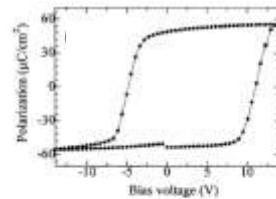
# INTRODUCTION

*Heterojunctions based on  
Perovskite Oxides*

*Controlling physical properties  
using interface effects*

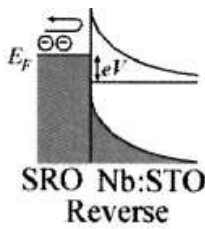
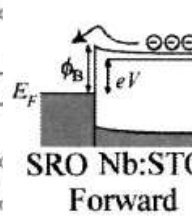
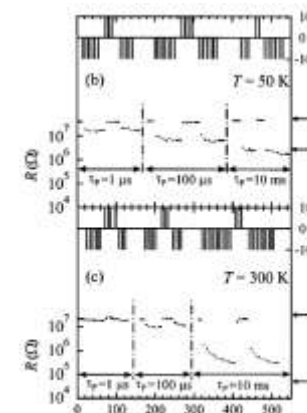


Ferroelectric FET



T. Kanki *et al.*, *Appl. Phys. Lett.* **83**, 4860 (2003).

Resistance RAM



T. Fujii *et al.*, *Appl. Phys. Lett.* **86**, 012107 (2005).

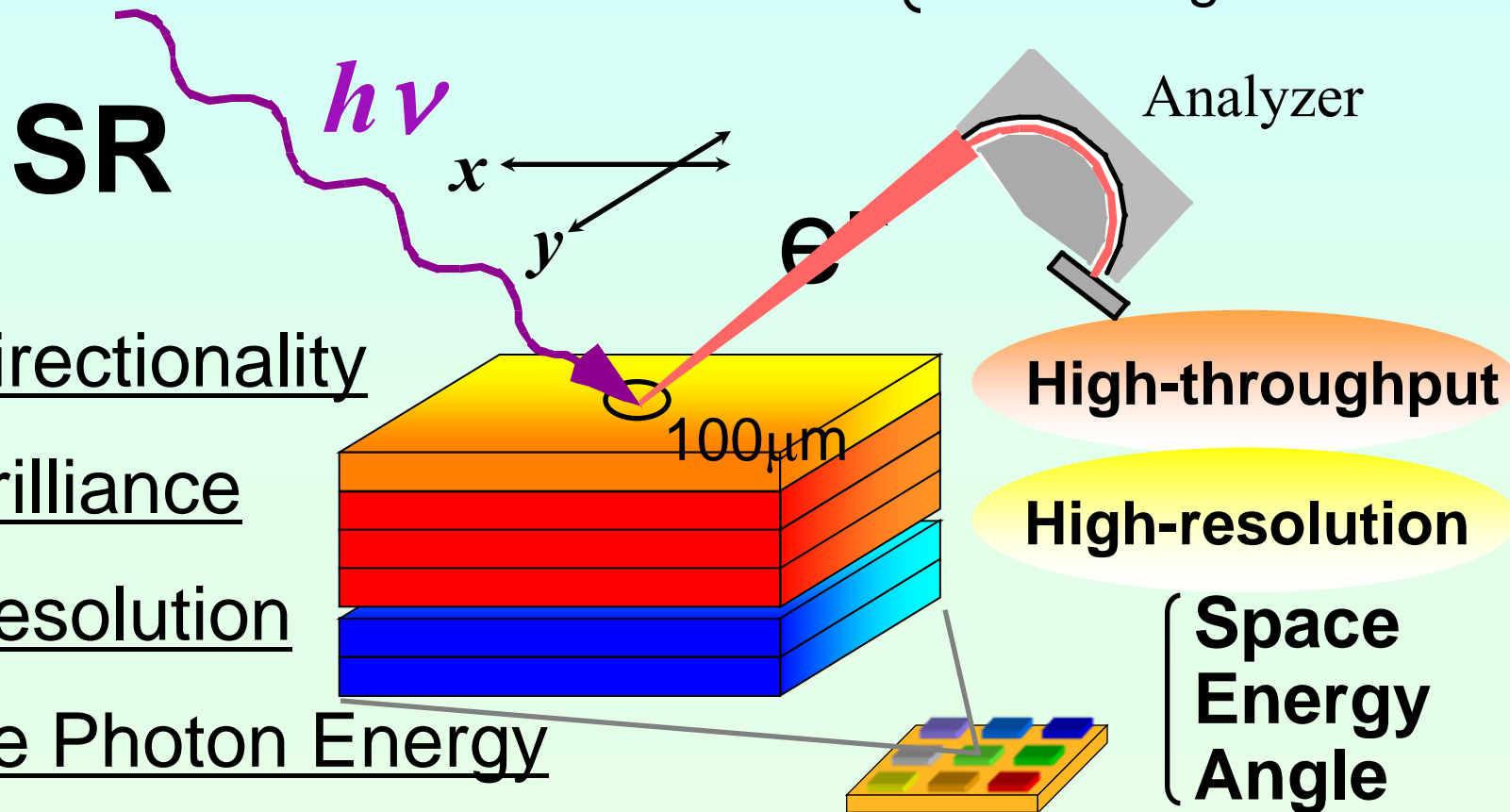
High  $T_c$   
CMR  
MI transition

# Advantage of SR-PES

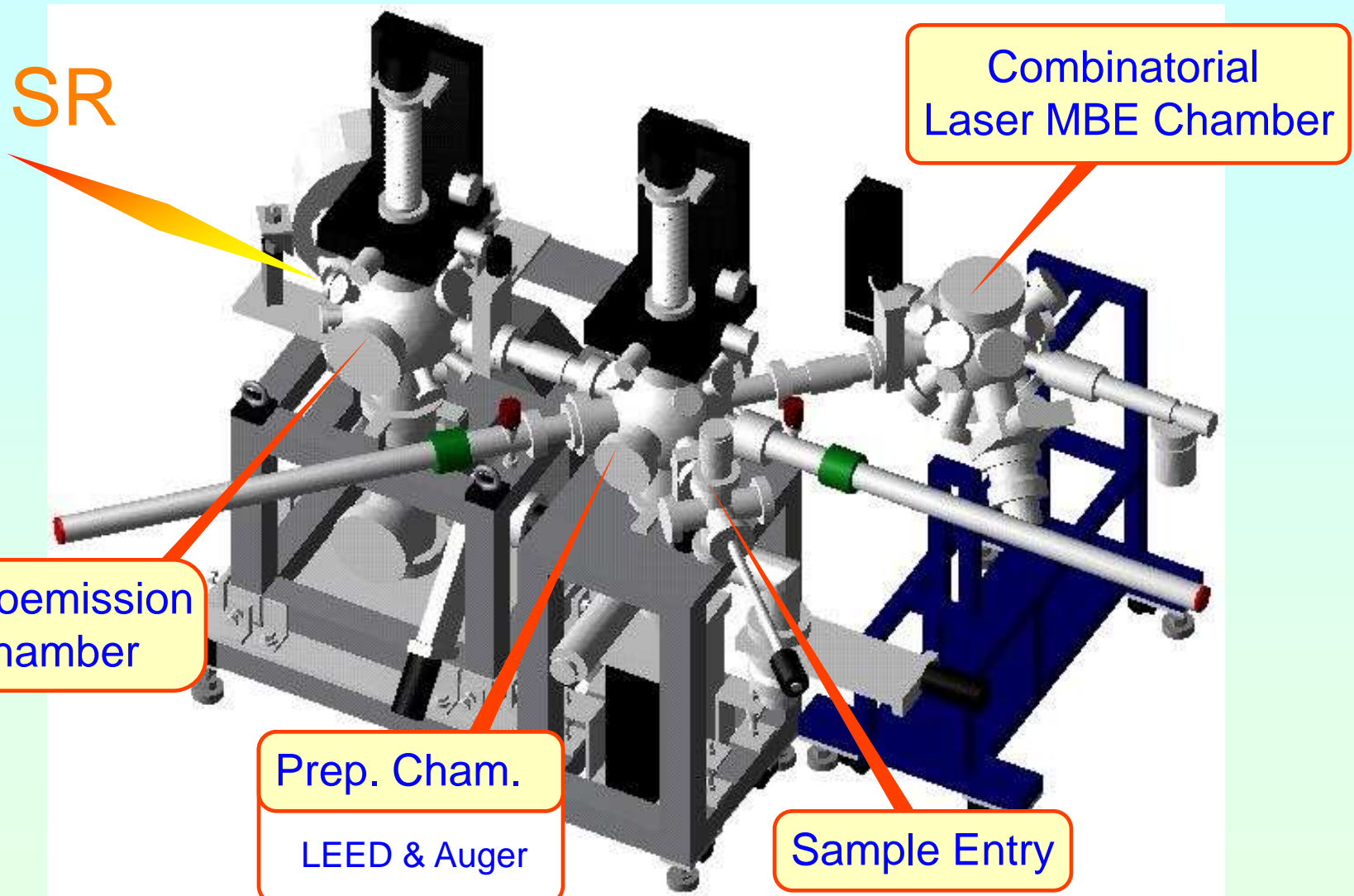
- ★ Non-destructive
- ★ Surface (Interface) Sensitive
- ★ Direct Determination of Electronic States

Hard-XrayPES@SPring-8 ( $\sim 1000 \text{ \AA}$ )

( $5 \sim 30 \text{ \AA}$ )  
Chemical Shift  
DOS  
Band Diagram

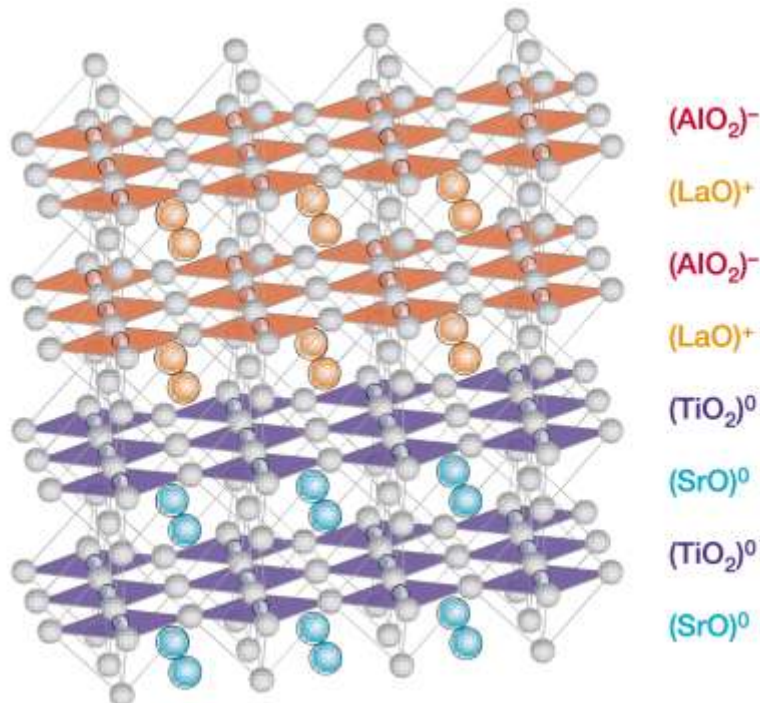


# In-situ PES + Laser MBE system



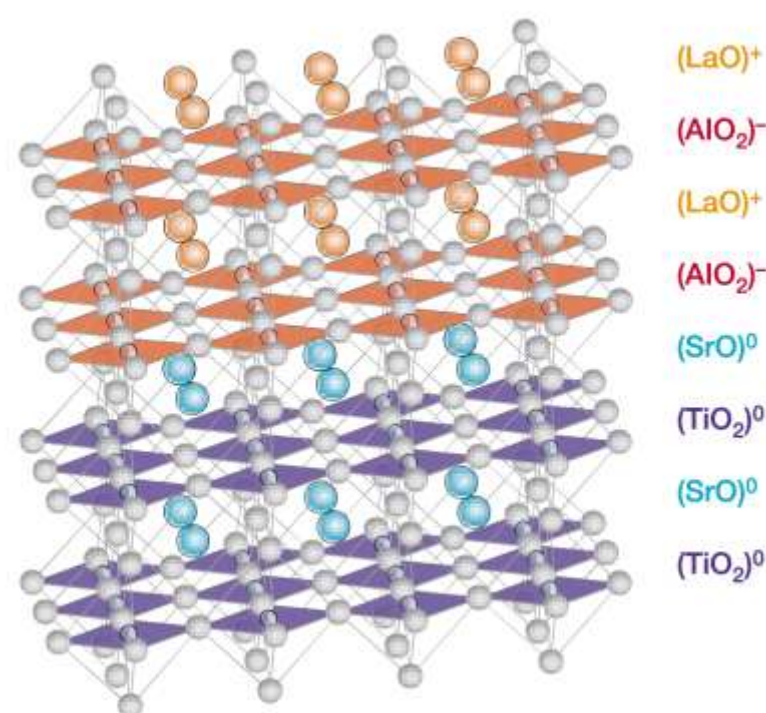
# Interfacial Electronic Structure of LaAlO<sub>3</sub>/ SrTiO<sub>3</sub> Heterojunctions

LaAlO<sub>3</sub> / TiO<sub>2</sub>-SrTiO<sub>3</sub>



*n*-type (Metallic)

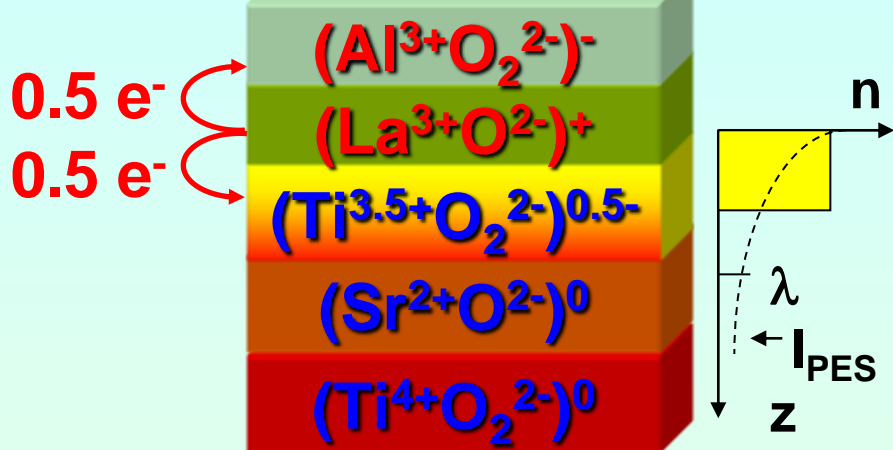
LaAlO<sub>3</sub> / SrO-SrTiO<sub>3</sub>



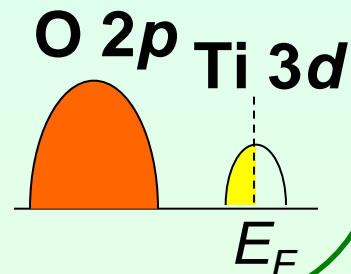
*p*-type (Insulating)

# Origin of the Metallic Interface

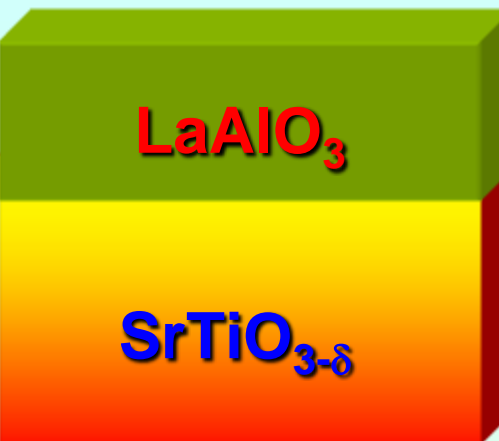
## 1. Charge Transfer



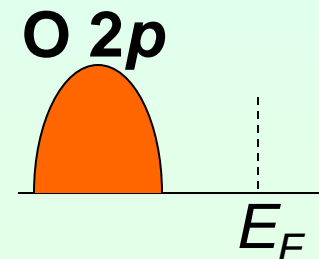
N. Nakagawa et al.,  
Nature Mater. **5**, 204  
(2006).



## 2. Oxygen Vacancies

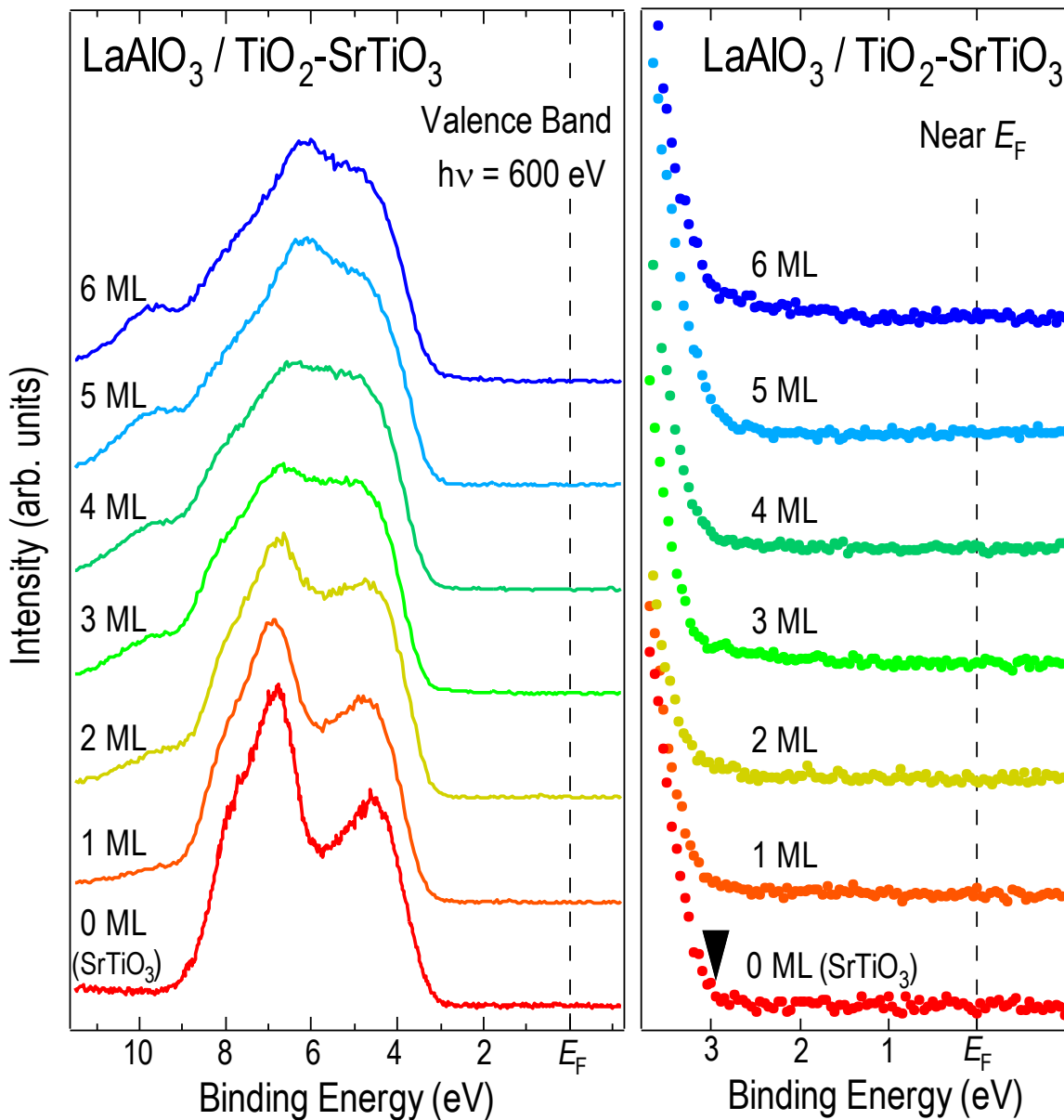


W. Simons et al.,  
Phys. Rev. Lett. **98**,  
196802 (2007).



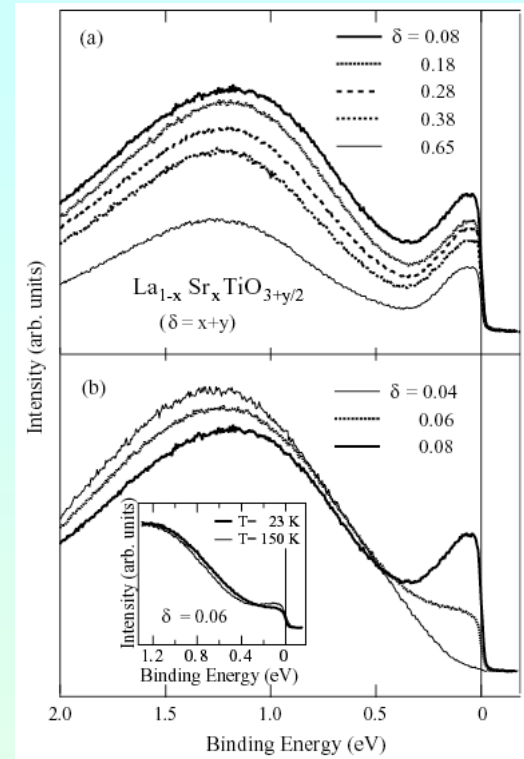
DOS at  $E_F$  is different between the two scenarios.

# Valence Band Spectra of n-type Interfaces



K. Yoshimatsu, HK et al., Phys. Rev. Lett. **101**, 026802 (08).

PES spectra of LSTO

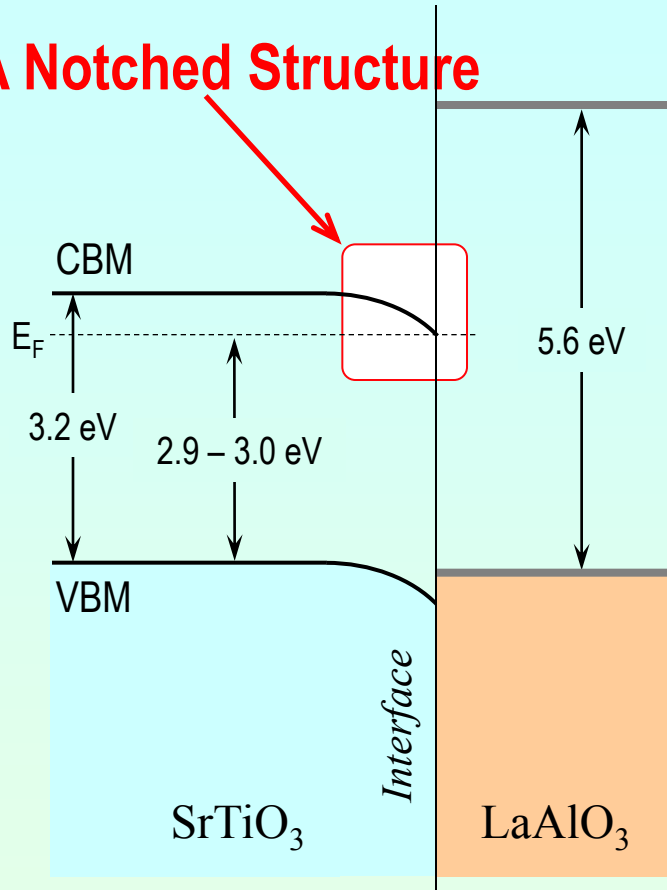


T. Yoshida et al., Europhys. Lett. **59**, 258 ('02)

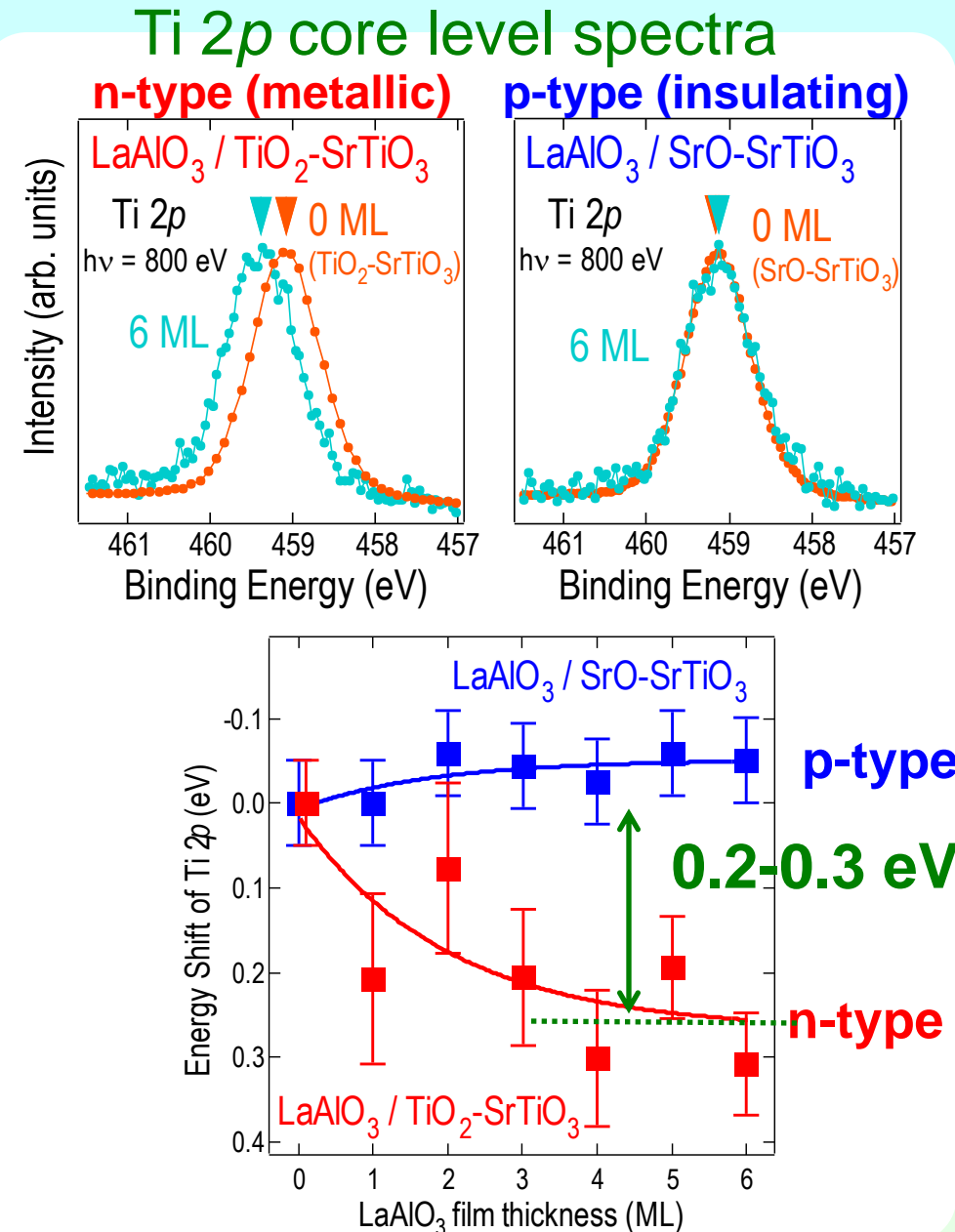
No detectable  
Ti 3d DOS at  $E_F$

# Band Diagram of LAO/STO Interface

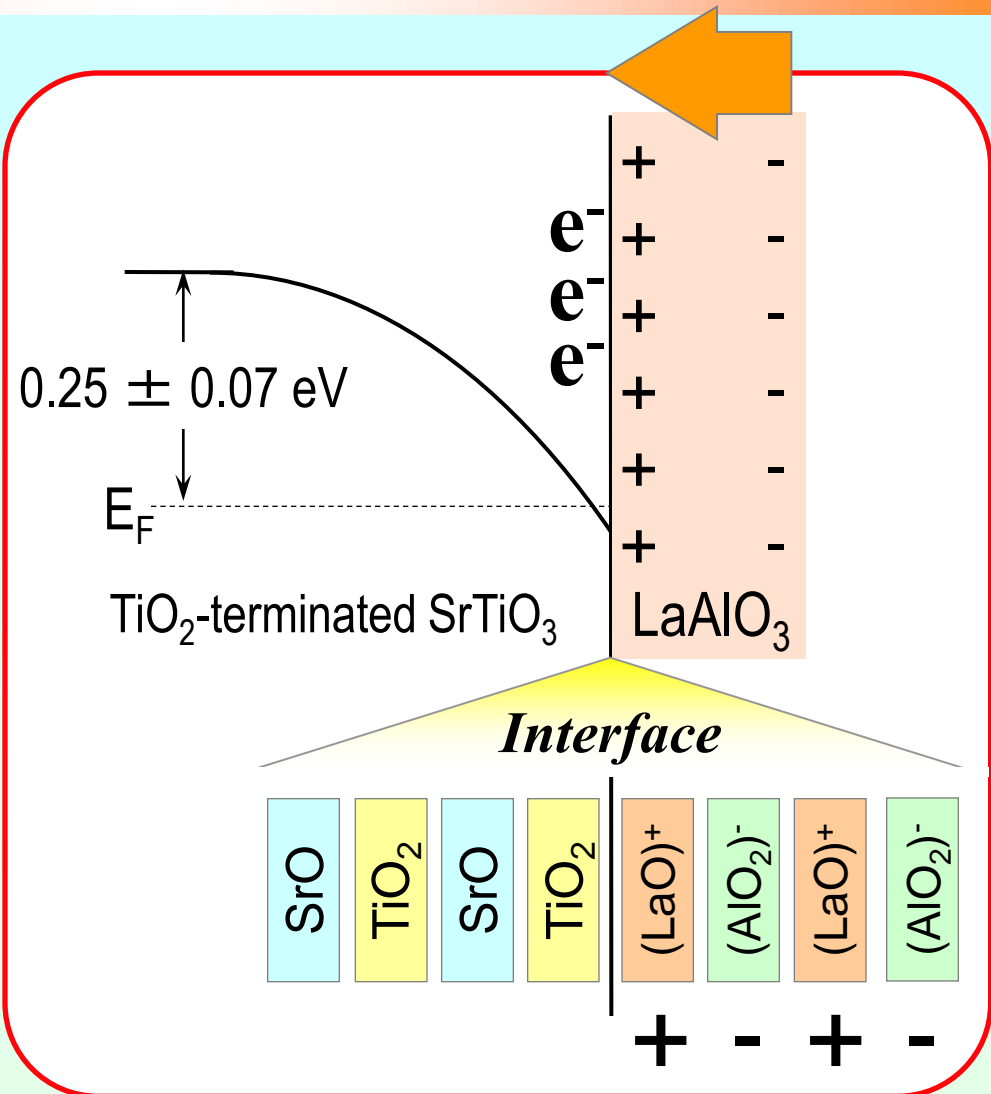
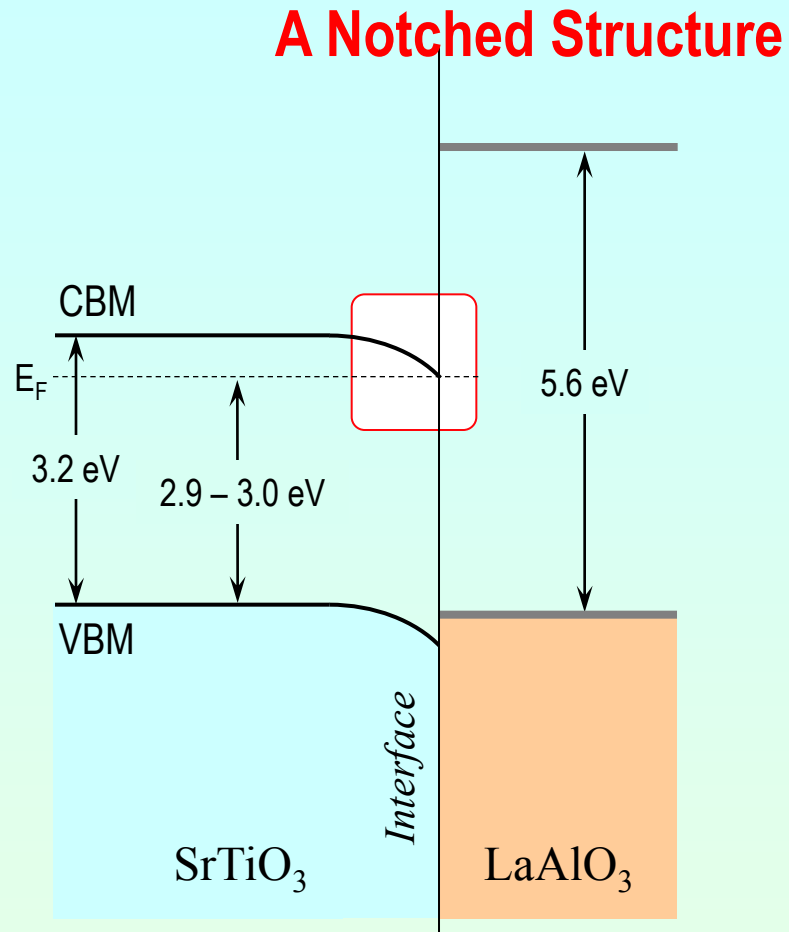
## A Notched Structure



Band bending of 0.2-0.3 eV to higher binding energy from STO to the metallic interface.



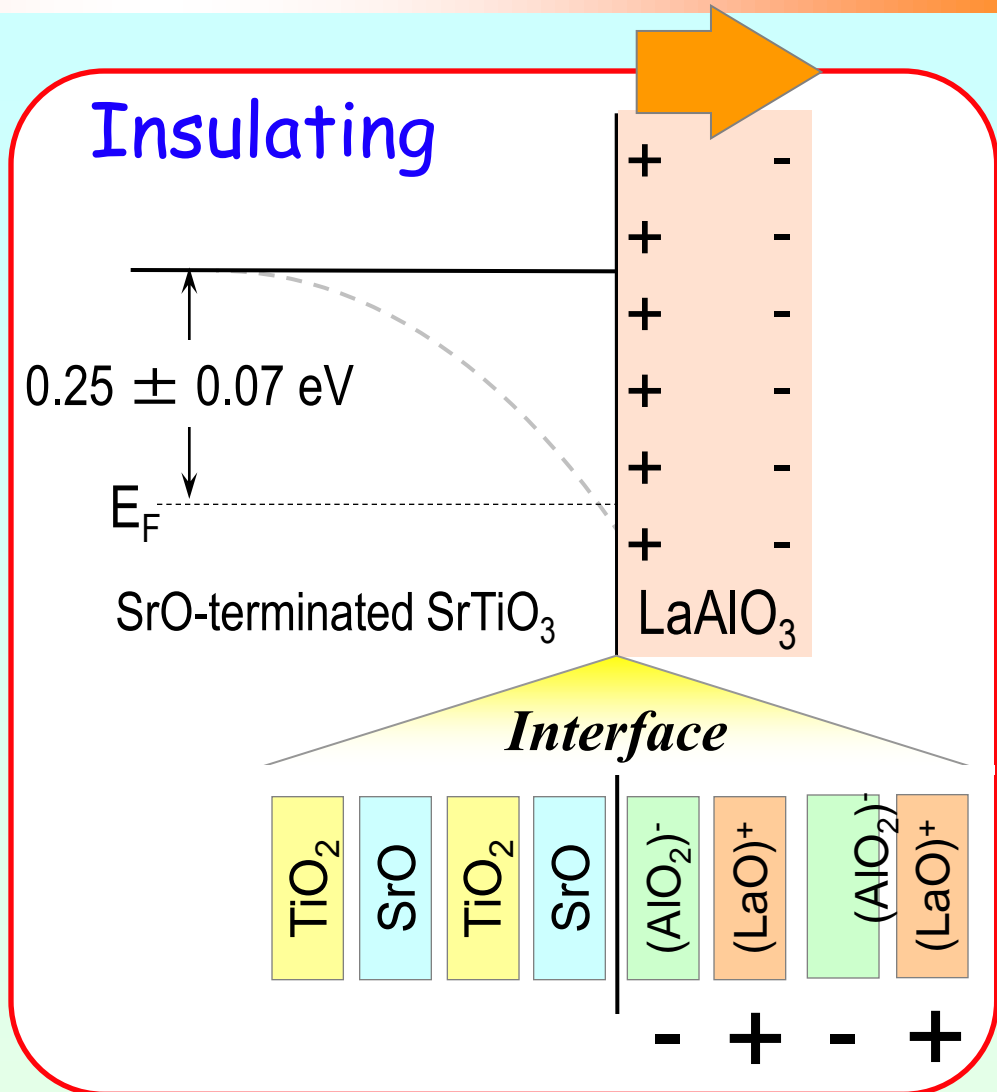
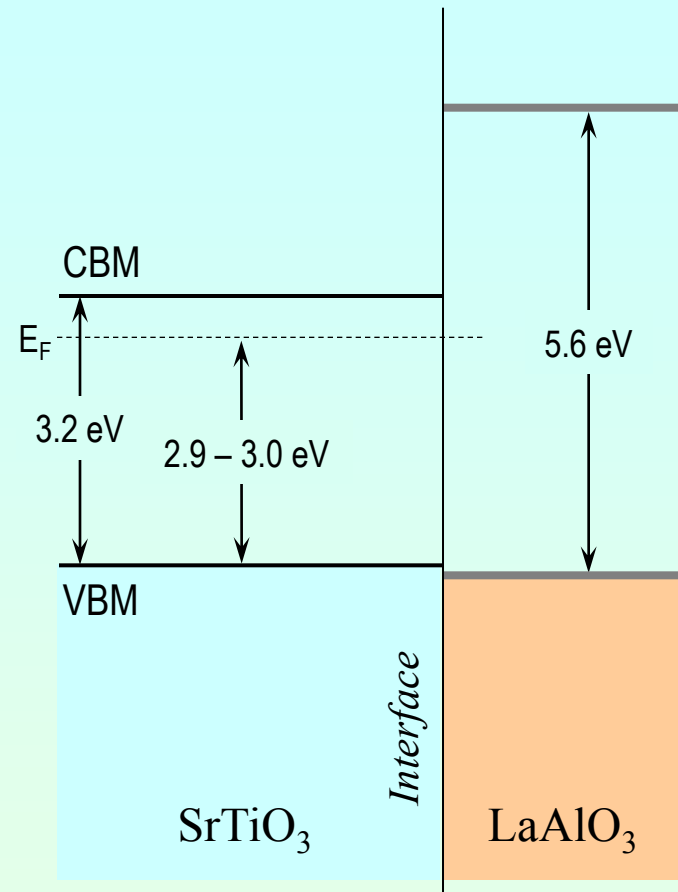
# Origin of Metallic Conductivity in LAO/STO



K. Yoshimatsu, HK et al., *Phys. Rev. Lett.* **101**, 026802 (08).

The metallic conductivity originate from the accumulation of carriers on the notched structure formed at the interface.

# Origin of M-I Transition by Inserting SrO



K. Yoshimatsu, HK et al., *Phys. Rev. Lett.* **101**, 026802 (08).

The notched structure disappears by inserting  $\text{SrO}$  atomic layer between LAO and STO.

# まとめ

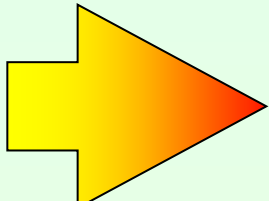
LaserMBE装置と光電子分光装置を連結したin-situ光電子分光装置を立ち上げ、酸化物ヘテロ構造について調べた。

## 1. LSMO/LSFO, LSMO/STO

界面を通した遷移金属イオンの電荷移動は3d準位の位置と占有数で決まる。

## 2. LAO/STO

界面を通した電荷移動は起こっておらず、金属伝導の起源は界面に形成されたノッチ構造への電子の蓄積である。



放射光の「元素選択性」を用いた放射光電子分光は酸化物ヘテロ構造の研究に非常に有効

# We desire



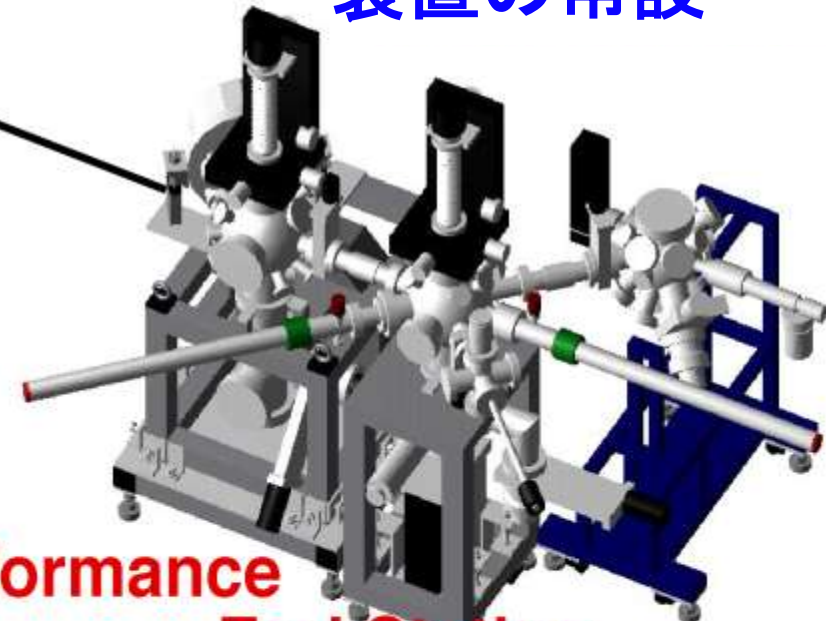
High Photon-Flux

&

High Energy Resolution

ビームラインの  
安定性

長期ビームタイム  
装置の常設



使いやすい装置  
(ユーザーインターフェース)

**High-Performance  
End Station**

解析プログラムの整備

**for in-situ PES**